

Collybia cirrhata

(Schumach.) Quél., *Mém. Soc. Émul. Montbéliard*, Sér. 2 5: 96 (1872)



Tricholomataceae, Agaricales, Agaricomycetidae, Agaricomycetes, Agaricomycotina, Basidiomycota, Fungi

- = *Agaricus amanitae* Batsch, *Elench. fung.* (Halle): 109 (1786)
- = *Agaricus amanitae* Batsch, *Elench. fung.* (Halle): 109 (1786) subsp. *amanitae*
- ≡ *Agaricus amanitae* subsp. *cirrhatus* Pers., *Observ. mycol.* (Lipsiae) 2: 53 (1800) [1799]
- = *Agaricus amanitae* subsp. *sclerotii* Pers., *Observ. mycol.* (Lipsiae) 2: 53 (1800) [1799]
- ≡ *Agaricus cirrhatus* Schumach., *Enum. pl.* (Kjbenhavn) 2: 308 (1803)
- ≡ *Agaricus cirrhatus* (Pers.) Fr., *Linnaea* 5: 714 (1830)
- ≡ *Agaricus cirrhatus* Schumach., *Enum. pl.* (Kjbenhavn) 2: 308 (1803) var. *cirrhatus*
- ≡ *Agaricus cirrhatus* var. *ocellatus* (Fr.) Pers., *Mycol. eur.* (Erlanga) 3: 125 (1828)
- ≡ *Agaricus cirrhatus* var. *phaeothelus* Pers., *Mycol. eur.* (Erlanga) 3: 125 (1828)
- = *Agaricus ocellatus* Fr., *Observ. mycol.* (Havniae) 1: 83 (1815)
- = *Agaricus ocellatus* Fr., *Observ. mycol.* (Havniae) 1: 83 (1815) var. *ocellatus*
- = *Agaricus ocellatus* var. *pallor* (Batsch) Fr., *Syst. mycol.* (Lundae) 1: 134 (1821)
- = *Agaricus pallor* Batsch, *Elench. fung.* (Halle): 115, tab. 18, fig. 95 (1786)
- ≡ *Agaricus tuberosus* var. *cirrhatus* (Pers.) Pers., *Syn. meth. fung.* (Göttingen) 2: 374 (1801)
- = *Collybia amanitae* (Batsch) Kreisel, *Pilzflora der Deutschen Demokratischen Republik. Basidiomycetes (Gallert-, Hut- und Bauchpilze)* (Jena): 47 (1987)
- ≡ *Collybia cirrata* (Schumach.) Quél., *Mém. Soc. Émul. Montbéliard*, Sér. 2 5: 96 (1872)
- ≡ *Collybia cirrhata* (Schumach.) Quél., *Mém. Soc. Émul. Montbéliard*, Sér. 2 5: 96 (1872) var. *cirrhata*
- = *Collybia ocellata* (Fr.) P. Kumm., *Führ. Pilzk.* (Zerbst): 114 (1871)
- = *Lactarius ocellata* (Fr.) Murrill [as 'Lactaria'], *Mycologia* 16(2): 97 (1924)
- = *Microcollybia cirrhata* (Schumach.) Métrod, *Revue Mycol.*, Paris 17: 87 (1952)
- ≡ *Microcollybia cirrhata* (Schumach.) Lennox, *Mycotaxon* 9(1): 193 (1979)
- = *Sclerotium subterraneum* f. *truncorum* Tode, *Fung. mecklenb. sel.* (Lüneburg) 1: 4 (1790)
- = *Sclerotium truncorum* (Tode) Fr., *Syst. mycol.* (Lundae) 2(1): 252 (1822)

Material estudiado:

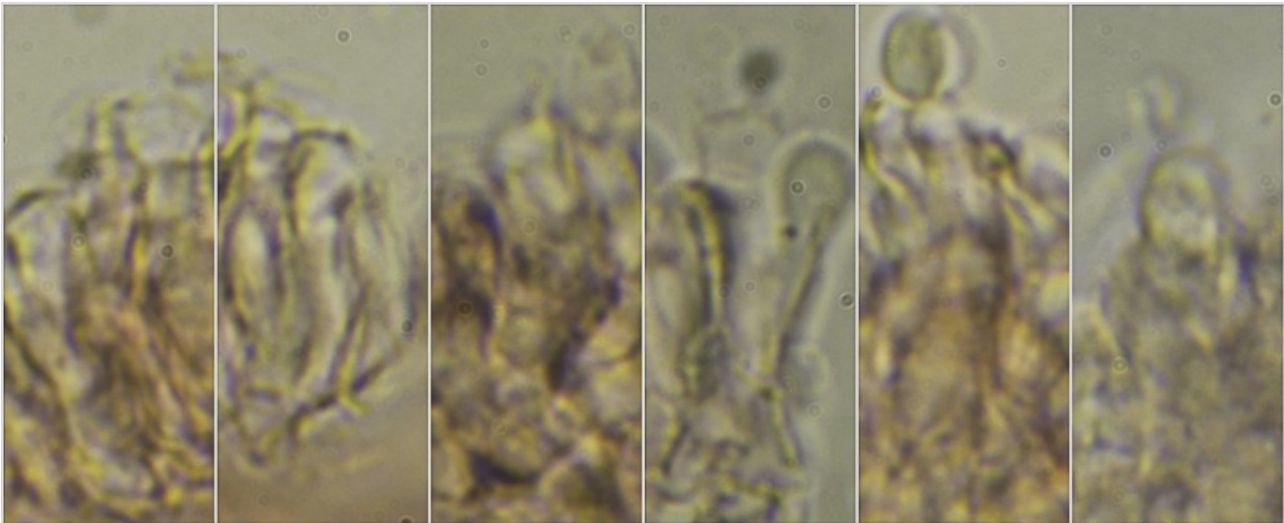
España, Cantabria, Peñarrubia, Monte Oban, 30TUN7290, 492 m, en tallos herbáceos secos bajo *Castanea sativa*, 1-XI-2017, leg. Charo Velasco, Belí Casillas, Celia Domínguez, Dianora Estrada, Francis Donaire y Demetrio Merino, JA-CUSSTA: 9053.

Descripción macroscópica:

Pileo de 5-8 mm, irregular, de hemisférico a convexo y finalmente aplanado, con el centro umbonado a deprimido, margen agudo. **Cutícula** estriada por transparencia, no higrófana, finamente tomentosa con la edad, de blanquecina a crema claro. **Láminas** adnadas a subdecurrentes, blanquecinas, arista entera y concolor, con laminillas y lamélulas. **Estipite** de 19-40 x 0,5-1 mm, cilíndrico, flexuoso, con superficie lisa, de color crema a ocráceo, cubierto de fina pruina o fibrillas blanquecinas, especialmente junto al ápice y a la base, con cordones miceliares blanquecinos, sin esclerocio. **Olor** terroso.

Descripción microscópica:

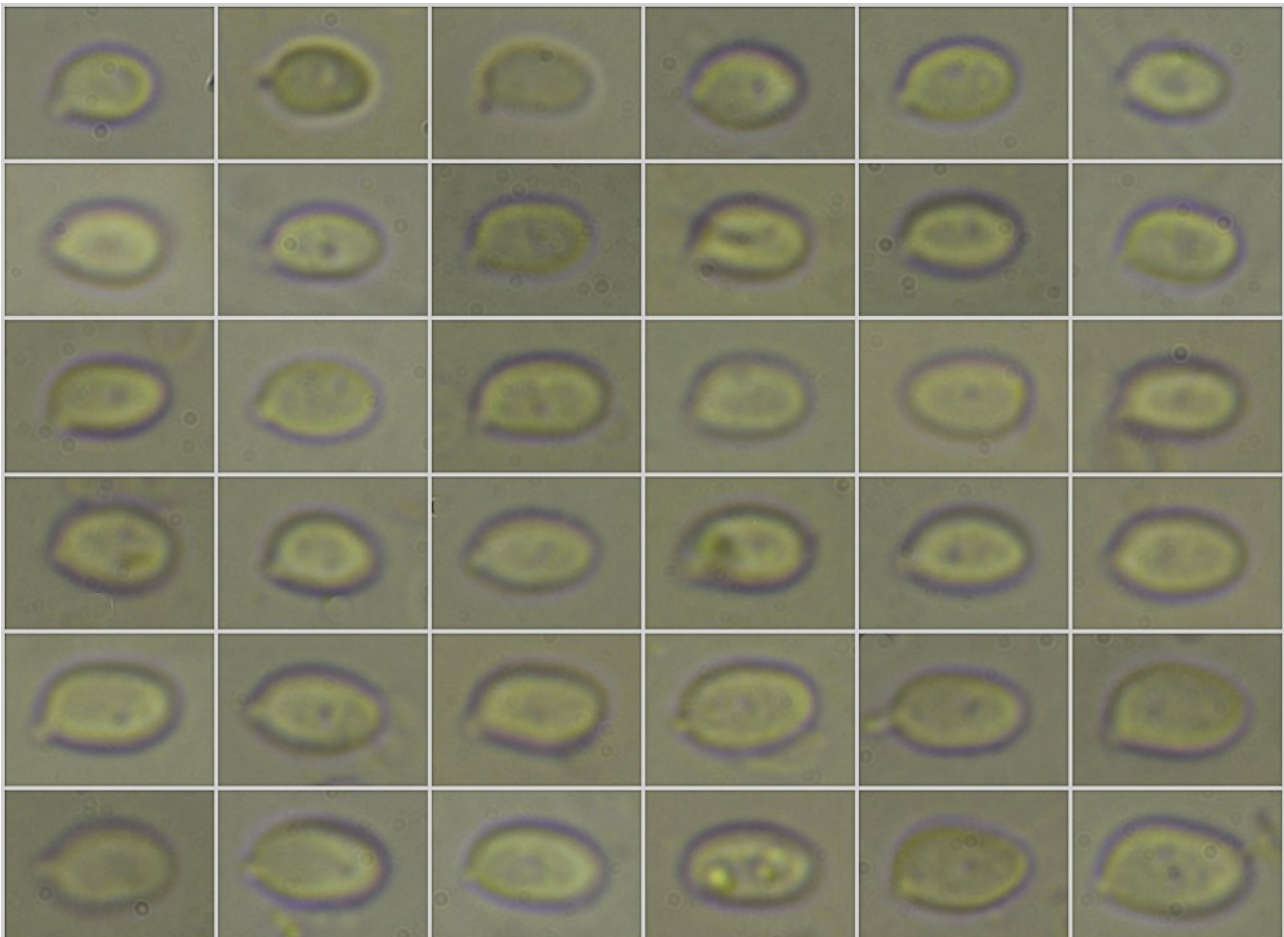
Basidios cilíndrico claviformes, tetraspóricos, con fíbula basal, de $(11,1-12,1-19,4 \times (3,8-3,9-6,4(-8,0)) \mu\text{m}$; N = 12; Me = $15,7 \times 5,0 \mu\text{m}$. **Basidiosporas** elipsoidales a subcilíndricas, lisas, hialinas, apiculadas, gutuladas, de $(4,9-5,4-7,0(-7,6) \times (3,1-3,5-4,6(-4,9)) \mu\text{m}$; Q = $(1,3-1,4-1,7(-1,8))$; N = 69; Me = $6,2 \times 4,1 \mu\text{m}$; Qe = 1,5. **Células marginales del himenio** flexuosas, de $(13,9-15,4-28,0(-34,6) \times (3,6-3,7-7,4(-8,0)) \mu\text{m}$; N = 13; Me = $20,3 \times 4,9 \mu\text{m}$. **Pileipellis** de hifas paralelas, fibuladas.



$(11,1-12,1-19,4 \times (3,8-3,9-6,4(-8,0)) \mu\text{m}$; N = 12; Me = $15,7 \times 5,0 \mu\text{m}$

Basidios Rojo Congo SDS
5 μm

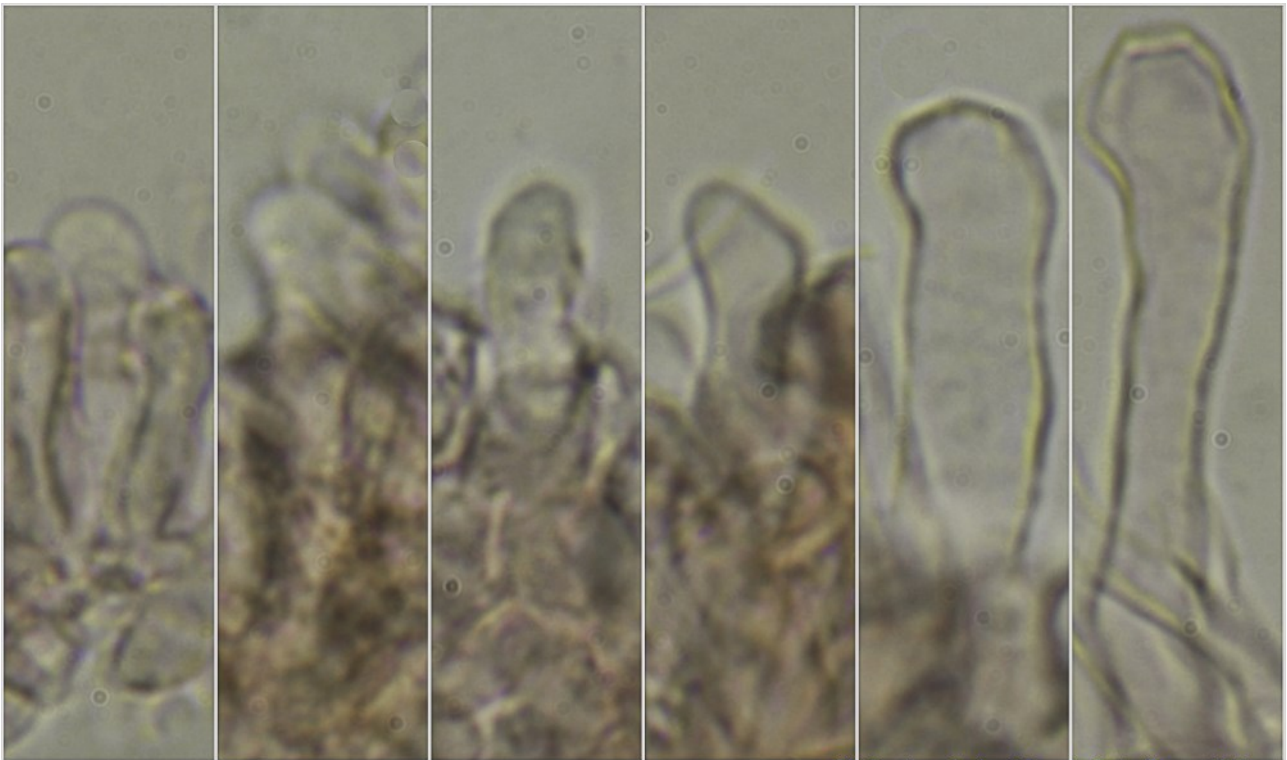
A. Basidios.



$(4,9-5,4-7,0(-7,6) \times (3,1-3,5-4,6(-4,9)) \mu\text{m}$
Q = $(1,3-1,4-1,7(-1,8))$; N = 69; Me = $6,2 \times 4,1 \mu\text{m}$; Qe = 1,5

Esporas Rojo Congo SDS
5 μm

B. Esporas.

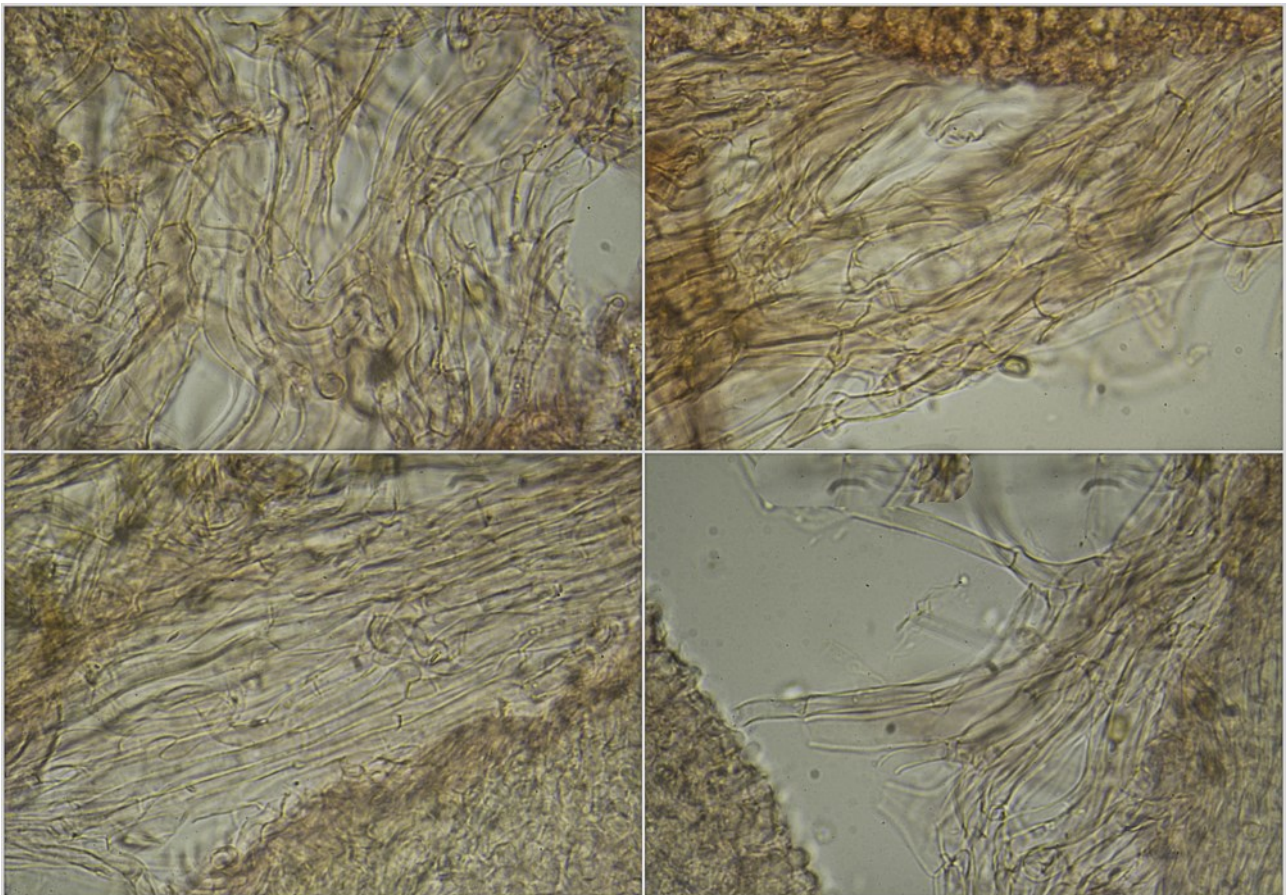


(13,9-)15,4-28,0(-34,6) × (3,6-)3,7-7,4(-8,0) μm; N = 13; Me = 20,3 × 4,9 μm

Células terminales himenio Rojo Congo SDS

5 μm

C. Células marginales del himenio.



Píleipellis Rojo Congo SDS

5 μm

D. Píleipellis.

Observaciones

Collybia cookei (Bres.) J.D. Arnold es muy similar pero presenta esclerocio y la base del pie no es estrigosa (BREITENBACH & KRÄNZLIN, 1991:182).

Otras descripciones y fotografías

- BREITENBACH J. & F. KRÄNZLIN (1991). Fungi of Switzerland Vol. 3. Bolets and agarics 1st. part. *Mykologia Lucern*. Pág. 182.



Salvo indicación en contrario, las fotos están realizadas por Demetrio Merino.